

Princip maximální entropie

- entropie (Shannon 1948)

$$S = -\sum_{i=1}^M p_i \ln p_i$$

$$S = -\int p(x) \ln p(x) dx$$

- zobecněná entropie (Jaynes 1963)

$$S = -\sum_{i=1}^M p_i \ln \frac{p_i}{m_i}$$

$$S = -\int p(x) \ln \frac{p(x)}{m(x)} dx$$

- **princip maximální entropie:**

jako apriorní rozdělení bereme rozdělení s maximální entropií

$m(x)$ Lebesgueova míra

zaručuje invarianci entropie při transformaci

$$x \rightarrow y = h(x)$$

Princip maximální entropie

- normalizační podmínka

$$S = -\sum_{i=1}^M p_i \ln \frac{p_i}{m_i} \quad \sum_{i=1}^M p_i = 1$$

- Lagrangeovy multiplikátory

$$F = -\sum_{i=1}^M p_i \ln \frac{p_i}{m_i} + \lambda_0 \left(1 - \sum_{i=1}^M p_i \right)$$

$$\frac{\partial F}{\partial p_j} = -\ln \frac{p_j}{m_j} - 1 - \lambda_0$$

$$p_j = m_j e^{-(1+\lambda_0)}$$



$$p_j = m_j$$

$$\sum_{i=1}^M p_i = 1$$

$$\lambda_0 = -1$$

pokud jsou všechny výsledky
stejně pravděpodobné

$$p_j = \frac{1}{M}$$

Princip maximální entropie

- známe odhad střední hodnoty μ

$$S = -\sum_{i=1}^M p_i \ln \frac{p_i}{m_i} \quad \sum_{i=1}^M p_i = 1 \quad \sum_{i=1}^M x_i p_i = \mu$$

- Lagrangeovy multiplikátory

$$F = -\sum_{i=1}^M p_i \ln \frac{p_i}{m_i} + \lambda_0 \left(1 - \sum_{i=1}^M p_i \right) + \lambda_1 \left(\mu - \sum_{i=1}^M x_i p_i \right)$$

$$\frac{\partial F}{\partial p_j} = -\ln \frac{p_j}{m_j} - 1 - \lambda_0 - \lambda_1 x_j \longrightarrow p_j = m_j e^{-(1+\lambda_0)} e^{-\lambda_1 x_j}$$

$$\begin{array}{l} \sum_{i=1}^M p_i = 1 \longrightarrow \lambda_0 = -1 \\ \sum_{i=1}^M x_i p_i = \mu \longrightarrow \lambda_1 = \frac{1}{\mu} \end{array} \left. \vphantom{\begin{array}{l} \sum_{i=1}^M p_i = 1 \\ \sum_{i=1}^M x_i p_i = \mu \end{array}} \right\} p(x) = \frac{1}{\mu} e^{-\frac{x}{\mu}}$$

Princip maximální entropie

- známe odhad rozptylu σ^2

$$S = -\sum_{i=1}^M p_i \ln \frac{p_i}{m_i} \quad \sum_{i=1}^M p_i = 1 \quad \sum_{i=1}^M (x_i - \mu)^2 p_i = \sigma^2$$

- Lagrangeovy multiplikátory

$$F = -\sum_{i=1}^M p_i \ln \frac{p_i}{m_i} + \lambda_0 \left(1 - \sum_{i=1}^M p_i \right) + \lambda_1 \left(1 - \sum_{i=1}^M (x_i - \mu)^2 p_i \right)$$

$$\frac{\partial F}{\partial p_j} = -\ln \frac{p_j}{m_j} - 1 - \lambda_0 - \lambda_1 (x_j - \mu)^2 \longrightarrow$$

$$p_j = m_j e^{-(1+\lambda_0)} e^{-\lambda_1 (x_j - \mu)^2}$$

$$\sum_{i=1}^M p_i = 1 \longrightarrow \lambda_0 = -1$$

$$\sum_{i=1}^M (x_i - \mu)^2 p_i = \sigma^2 \longrightarrow \lambda_1 = \frac{1}{2\sigma^2}$$

$$p(x) = \frac{1}{\sqrt{2\pi}\sigma} \exp\left[-\frac{(x - \mu)^2}{2\sigma^2}\right]$$

Princip maximální entropie

- entropie

$$S = -\int p(x) \ln \frac{p(x)}{m(x)} dx$$

- vazby

$$\langle f_k(x) \rangle = \int f_k(x) p(x) dx, \quad k = 1, 2, \dots$$

- princip maximální entropie

$$p(x) = \frac{m(x)}{Z} \exp \left[-\sum_{k=1}^K \lambda_k f_k(x) \right]$$

$$Z = \int m(x) \exp \left[-\sum_{k=1}^K \lambda_k f_k(x) \right] dx$$

procedura aktualizace informace:

pokud získáme novou hodnotu $\langle f_j(x) \rangle$

1. přenásobit $p(x)$ faktorem $\exp(-\lambda_j f_j(x))$
2. renormalizovat $p(x)$

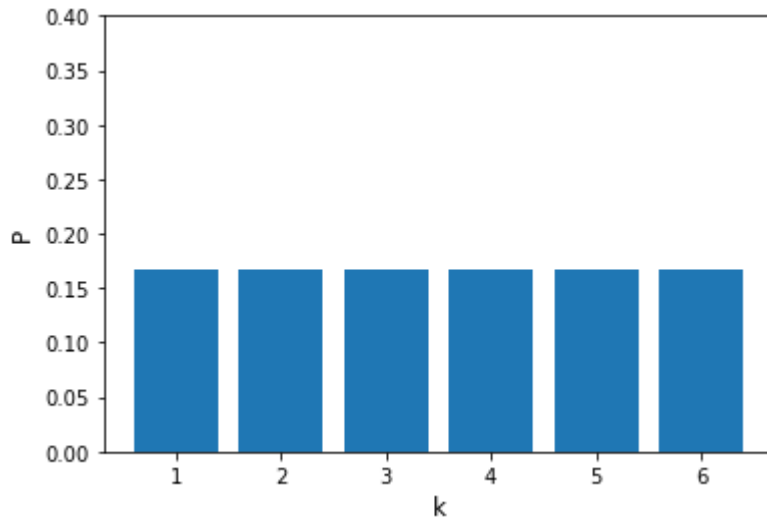
Princip maximální entropie – příklad házení kostkou

- prostor jevů $\Omega = \{x_1, x_2, x_3, x_4, x_5, x_6\} = \{1,2,3,4,5,6\}$

- entropie $S = - \sum_{i=1}^M p_i \ln \frac{p_i}{m_i}$

1. o kostce nevíme nic $\sum_{i=1}^M p_i = 1$

$$p_i = \frac{1}{M}$$



Princip maximální entropie – příklad házení kostkou

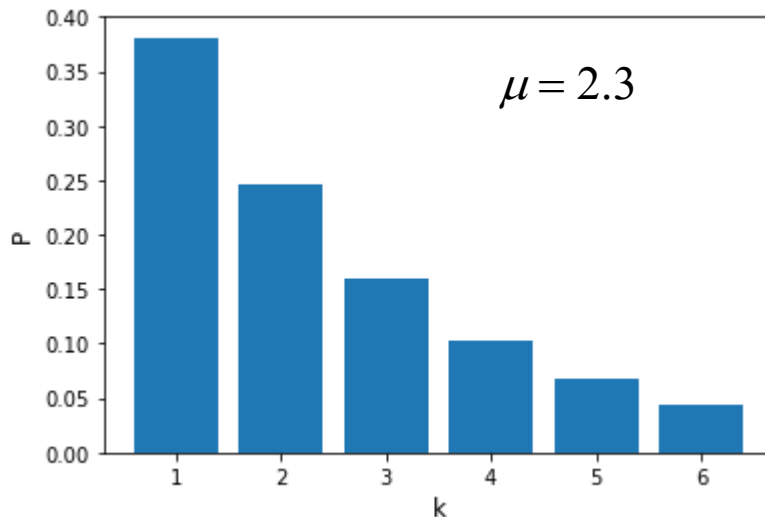
- prostor jevů $\Omega = \{x_1, x_2, x_3, x_4, x_5, x_6\} = \{1, 2, 3, 4, 5, 6\}$

- entropie $S = - \sum_{i=1}^M p_i \ln \frac{p_i}{m_i}$

2. víme, že očekávaná hodnota při hodu kostkou je μ

$$\sum_{i=1}^M p_i = 1 \quad \sum_{i=1}^M x_i p_i = \mu$$

$$p_i = \frac{1}{\mu} \exp\left(-\frac{x_i}{\mu}\right)$$



Princip maximální entropie – příklad házení kostkou

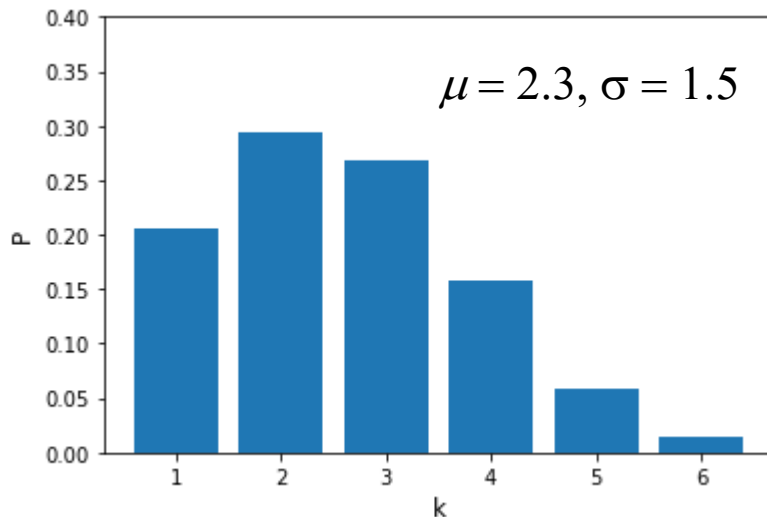
- prostor jevů $\Omega = \{x_1, x_2, x_3, x_4, x_5, x_6\} = \{1, 2, 3, 4, 5, 6\}$

- entropie $S = - \sum_{i=1}^M p_i \ln \frac{p_i}{m_i}$

3. víme, že očekávaná hodnota při hodu kostkou je μ a standardní odchylka je σ

$$p_i = \frac{1}{\sqrt{2\pi}\sigma} \exp \left[-\frac{(x_i - \mu)^2}{2\sigma^2} \right]$$

$$\sum_{i=1}^M p_i = 1 \quad \sum_{i=1}^M (x_i - \mu)^2 = \sigma^2$$



Metoda nejmenších čtverců a maximální věrohodnosti

- Bayesův teorém

$$f(\theta|D_N) = \frac{P(D_N|\theta)f(\theta)}{P(D_N)}$$

- věrohodnost $L(\theta, D_N) = P(D_N|\theta)$

- pokud je $f(\theta) = \text{konst.} \Rightarrow f(\theta|D_N) \propto L(\theta, D_N)$ **metoda maximální věrohodnosti**

- pokud známe neurčitosti naměřených hodnot

$$f(\theta|D_N) \propto \exp \left[- \sum_{i=1}^N \frac{(y_i - \theta)^2}{2\sigma_i^2} \right] \text{ metoda nejmenších čtverců}$$

Metoda nejmenších čtverců

- bylo provedeno N měření veličiny μ s různou přesností

$$x_i \pm \sigma_i \quad i = 1, 2, \dots, N$$

- jaký je nejlepší odhad veličiny μ ?
- princip maximální entropie \longrightarrow Gaussián

$$f(\mu|\{x_i, \sigma_i\}) \propto \exp \left[-\frac{1}{2} \sum_{i=1}^N \left(\frac{x_i - \mu}{\sigma_i} \right)^2 \right]$$

$$\langle x \rangle \equiv \frac{\sum_{i=1}^N \frac{x_i}{\sigma_i^2}}{\sum_{i=1}^N \frac{1}{\sigma_i^2}} \quad \langle \sigma^2 \rangle \equiv \frac{N}{\sum_{i=1}^N \frac{1}{\sigma_i^2}}$$

$$f(\mu|\{x_i, \sigma_i\}) = \frac{\sqrt{N}}{\sqrt{2\pi\langle\sigma^2\rangle}} \exp \left[-\frac{N(\mu - \langle x \rangle)^2}{2\langle\sigma^2\rangle} \right]$$

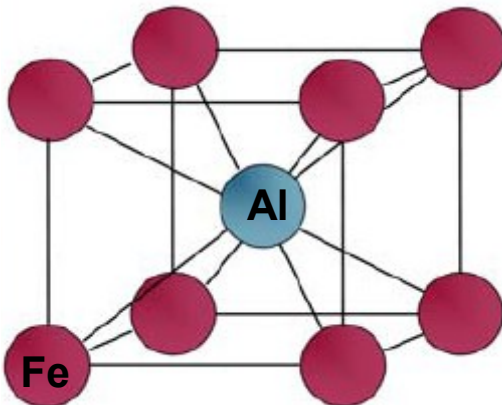
$$\mu_0 = \langle x \rangle \quad \sigma_{\mu_0} = \sqrt{\frac{\langle \sigma^2 \rangle}{N}}$$

Příklad – aktivační energie vzniku vakancí v Fe₃Al

- termodynamicky rovnovážná koncentrace vakancí

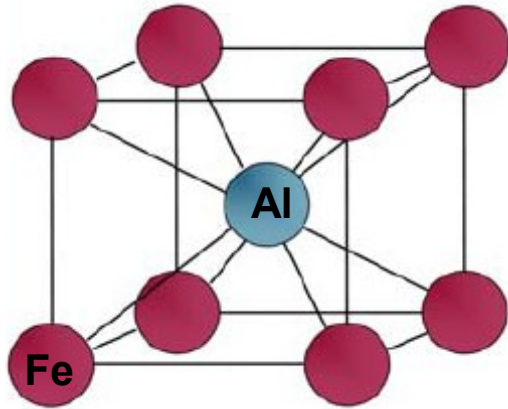
$$c_v(T) = \exp\left(\frac{S_f}{k}\right) \exp\left(-\frac{E_f}{kT}\right)$$

- S_f – formační entropie (změna entropie při vzniku vakance)
- E_f – aktivační energie (energie potřebná pro vytvoření vakance)
- Fe-Al (B2 fáze)



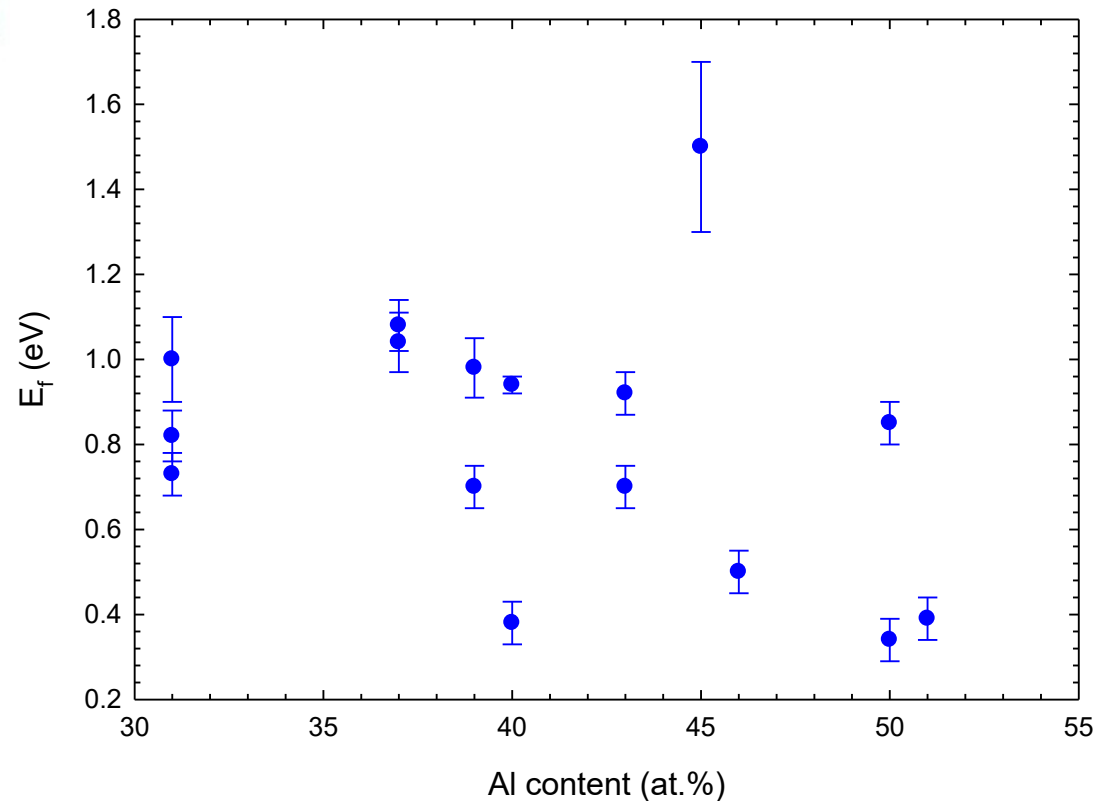
Příklad – aktivační energie vzniku vakancí v Fe₃Al

- Fe-Al (B2 fáze)



$$E_{f_i} \pm \sigma_i \quad i = 1, 2, \dots, N$$

Literatura (PAS, DSC, HV, XRD, dilatometrie)



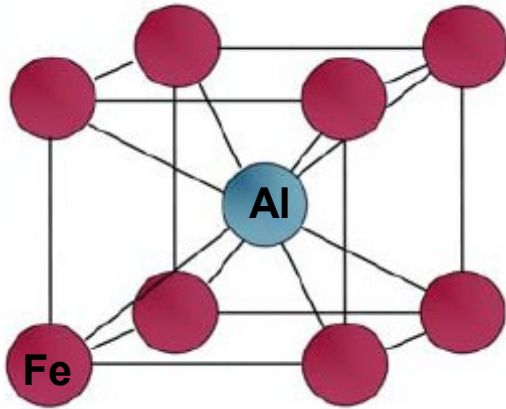
$$\langle E_f \rangle = \frac{\sum_{i=1}^N E_{f_i}}{\sum_{i=1}^N \frac{1}{\sigma_i^2}}$$

$$\sigma_{E_f} = \sqrt{\frac{\langle \sigma^2 \rangle}{N}} = \left(\sum_{i=1}^N \frac{1}{\sigma_i^2} \right)^{-\frac{1}{2}}$$

Příklad – aktivační energie vzniku vakancí v Fe₃Al

- Fe-Al (B2 fáze)

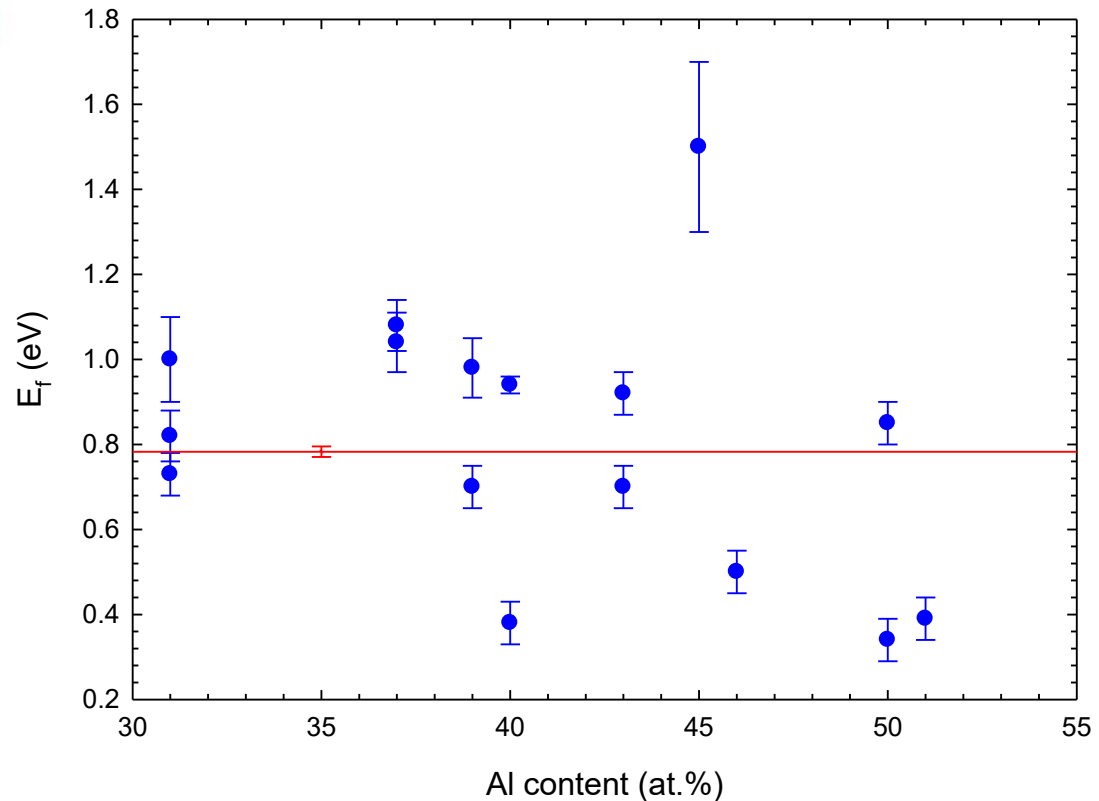
$$E_{f_i} \pm \sigma_i \quad i=1,2,\dots,N$$



$$\langle E_f \rangle = \frac{\sum_{i=1}^N \frac{E_{f_i}}{\sigma_i^2}}{\sum_{i=1}^N \frac{1}{\sigma_i^2}} = 0.783 \text{ eV}$$

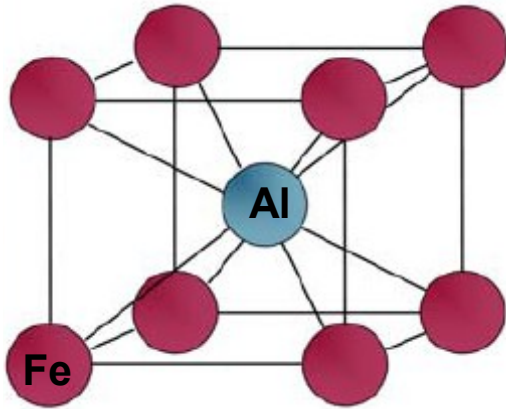
$$\langle \sigma \rangle = \left(\sum_{i=1}^N \frac{1}{\sigma_i^2} \right)^{-\frac{1}{2}} = 0.012 \text{ eV}$$

Literatura (PAS, DSC, HV,XRD, dilatometrie)



Příklad – aktivační energie vzniku vakancí v Fe₃Al

- Fe-Al (B2 fáze)

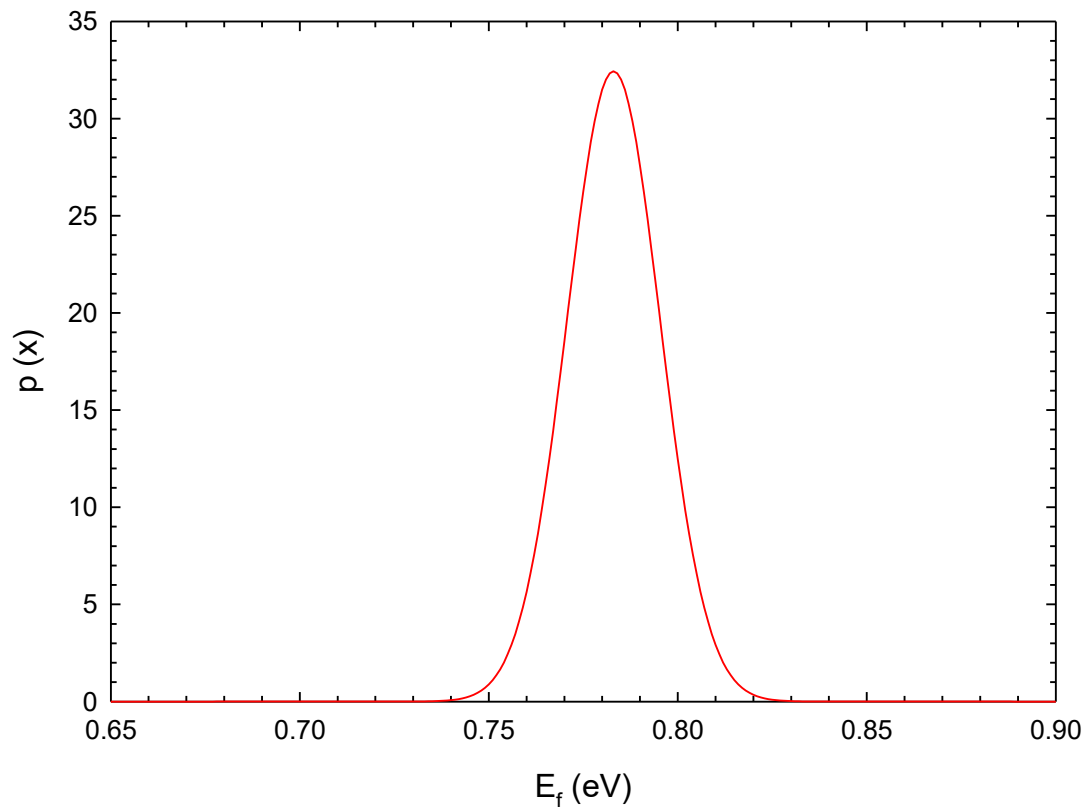


$$\langle E_f \rangle = \frac{\sum_{i=1}^N \frac{E_{f_i}}{\sigma_i^2}}{\sum_{i=1}^N \frac{1}{\sigma_i^2}} = 0.783 \text{ eV}$$

$$\sigma_{E_f} = \left(\sum_{i=1}^N \frac{1}{\sigma_i^2} \right)^{-\frac{1}{2}} = 0.012 \text{ eV}$$

- apriorní hustota pravděpodobnosti

$$f(E_f | \{E_{f_i}, \sigma_i\}) = \frac{\sqrt{N}}{\sqrt{2\pi\langle\sigma^2\rangle}} \exp \left[-\frac{N(E_f - \langle E_{f_i} \rangle)^2}{2\langle\sigma^2\rangle} \right]$$



Příklad – aktivační energie vzniku vakancí v Fe₃Al

- termodynamicky rovnovážná koncentrace vakancí

$$c_v(T) = \exp\left(\frac{S_f}{k}\right) \exp\left(-\frac{E_f}{kT}\right)$$

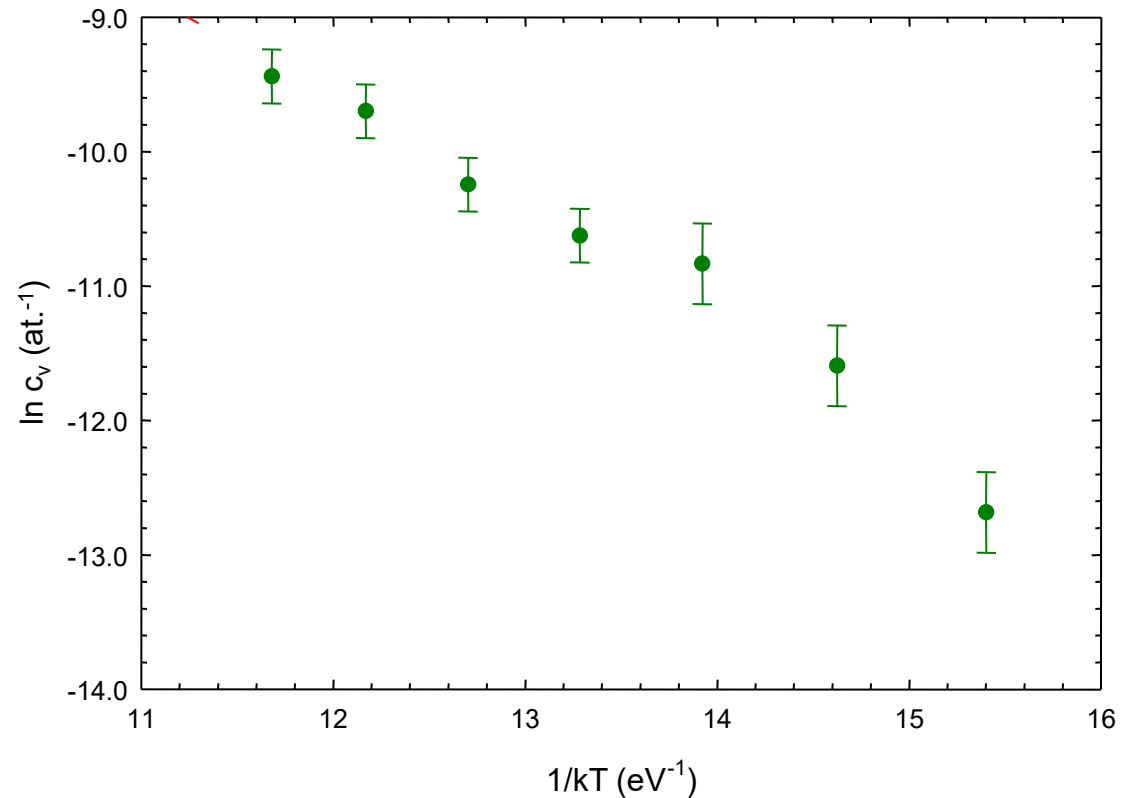
$$\ln c_v(T) = -\frac{E_f}{kT} + \frac{S_f}{k}$$

- věrohodnost

$$L(E_f, S_f | D_N) \propto \exp\left[-\frac{1}{2} \sum_{i=1}^N \frac{\left(y_i + E_f x_i - \frac{S_f}{k}\right)^2}{\sigma_{y_i}^2}\right]$$

$$x_i \equiv \frac{1}{kT_i} \quad y_i \equiv \ln c_{v,i} \quad \rightarrow \quad \sigma_{y_i} = \frac{1}{c_{v,i}} \sigma_i$$

- Arheniův plot: $\ln c_v$ vs. $1/kT$



Příklad – aktivační energie vzniku vakancí v Fe₃Al

- termodynamicky rovnovážná koncentrace vakancí

$$c_v(T) = \exp\left(\frac{S_f}{k}\right) \exp\left(-\frac{E_f}{kT}\right)$$

$$\ln c_v(T) = -\frac{E_f}{kT} + \frac{S_f}{k}$$

- věrohodnost

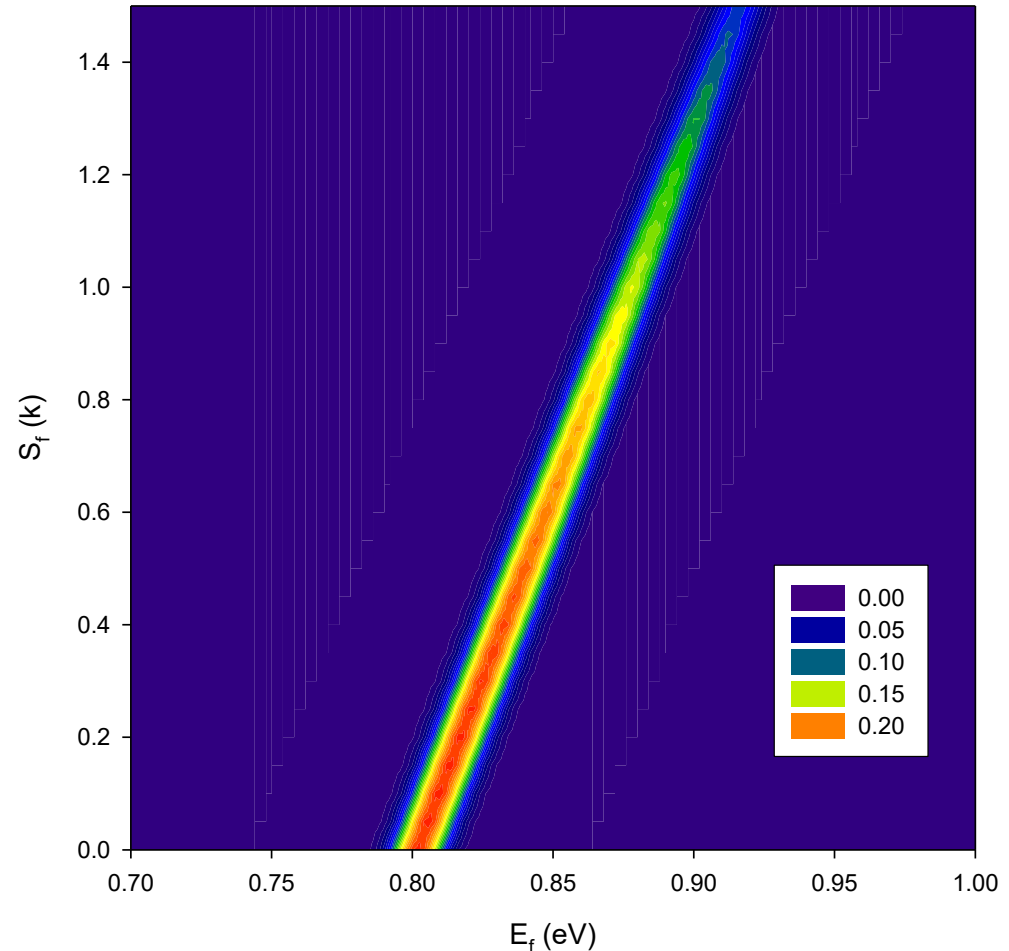
$$L(E_f, S_f | D_N) \propto \exp\left[-\frac{1}{2} \sum_{i=1}^N \frac{\left(y_i + E_f x_i - \frac{S_f}{k}\right)^2}{\sigma_{y_i}^2}\right]$$

$$x_i \equiv \frac{1}{kT_i} \quad y_i \equiv \ln c_{v,i} \quad \rightarrow \quad \sigma_{y_i} = \frac{1}{c_{v,i}} \sigma_i$$

- maximum

$$E_f = \frac{\langle xy \rangle - \langle x \rangle \langle y \rangle}{\langle x^2 \rangle - \langle x \rangle^2} \quad \sigma_{E_f} = \sqrt{\frac{\langle \sigma_y^2 \rangle}{\langle x^2 \rangle N}}$$

$$S_f = \frac{\langle y \rangle \langle x^2 \rangle - \langle xy \rangle \langle x \rangle}{\langle x^2 \rangle - \langle x \rangle^2} \quad \sigma_{S_f} = k \sqrt{\frac{\langle \sigma_y^2 \rangle}{N}}$$



Příklad – aktivační energie vzniku vakancí v Fe₃Al

- termodynamicky rovnovážná koncentrace vakancí

$$c_v(T) = \exp\left(\frac{S_f}{k}\right) \exp\left(-\frac{E_f}{kT}\right)$$

$$\ln c_v(T) = -\frac{E_f}{kT} + \frac{S_f}{k}$$

- věrohodnost

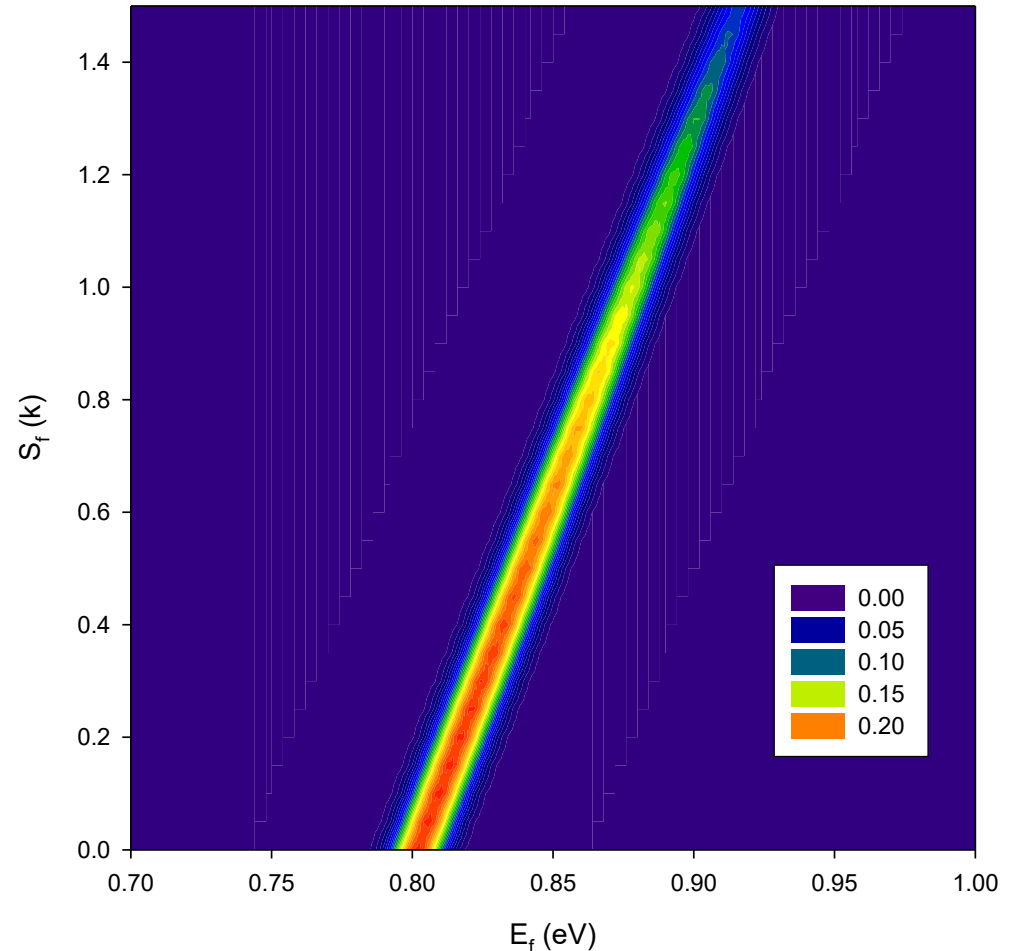
$$L(E_f, S_f | D_N) \propto \exp\left[-\frac{1}{2} \sum_{i=1}^N \frac{\left(y_i + E_f x_i - \frac{S_f}{k}\right)^2}{\sigma_{y_i}^2}\right]$$

$$x_i \equiv \frac{1}{kT_i} \quad y_i \equiv \ln c_{v,i} \quad \rightarrow \quad \sigma_{y_i} = \frac{1}{c_{v,i}} \sigma_i$$

- maximum

$$E_f = (0.809 \pm 0.007) \text{ eV}$$

$$S_f = (0.10 \pm 0.09) k$$



Příklad – aktivační energie vzniku vakancí v Fe₃Al

- termodynamicky rovnovážná koncentrace vakancí

$$c_v(T) = \exp\left(\frac{S_f}{k}\right) \exp\left(-\frac{E_f}{kT}\right)$$

$$\ln c_v(T) = -\frac{E_f}{kT} + \frac{S_f}{k}$$

- věrohodnost

$$L(E_f, S_f | D_N) \propto \exp\left[-\frac{1}{2} \sum_{i=1}^N \frac{\left(y_i + E_f x_i - \frac{S_f}{k}\right)^2}{\sigma_{y_i}^2}\right]$$

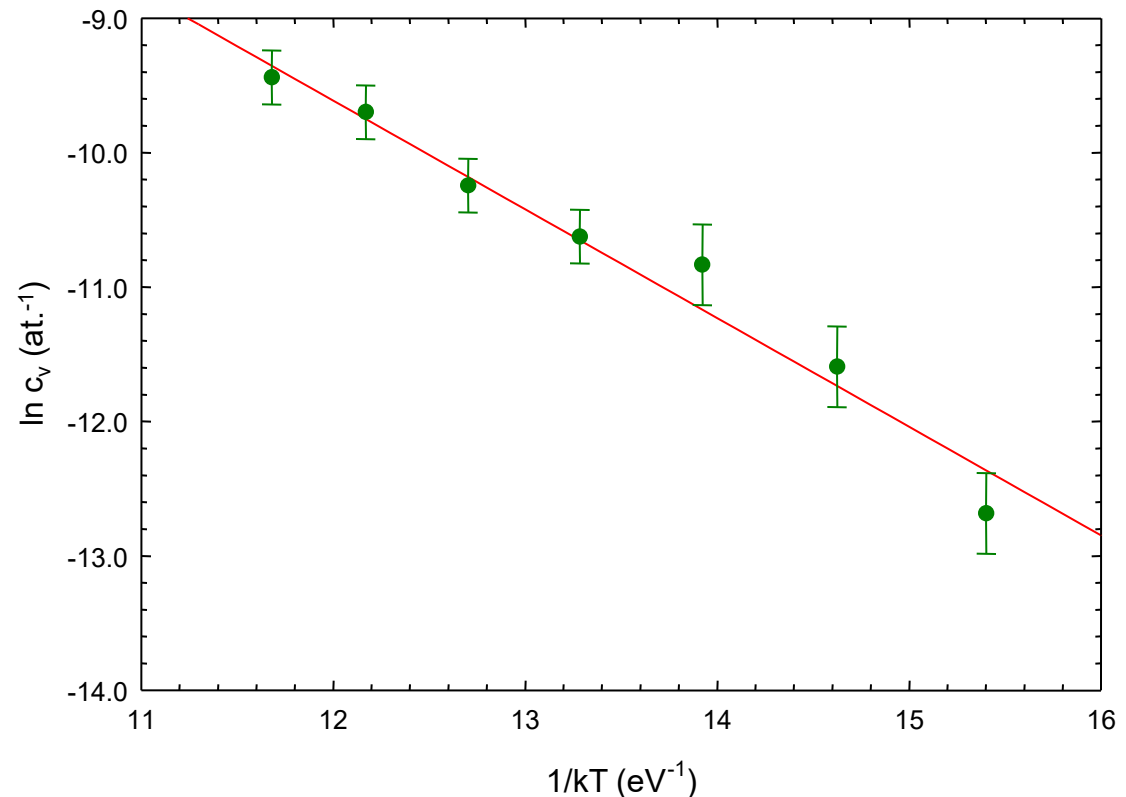
$$x_i \equiv \frac{1}{kT_i} \quad y_i \equiv \ln c_{v,i} \quad \rightarrow \quad \sigma_{y_i} = \frac{1}{c_{v,i}} \sigma_i$$

- maximum

$$E_f = (0.809 \pm 0.007) \text{ eV}$$

$$S_f = (0.10 \pm 0.09) k$$

- Arheniův plot: $\ln c_v$ vs. $1/kT$



Příklad – aktivační energie vzniku vakancí v Fe₃Al

- posteriorní hustota pravděpodobnosti

$$f(E_f, S_f | D_N) \propto L(E_f, S_f | D_N) f(E_f, S_f)$$

- o S_f nevíme nic $\longrightarrow f(E_f, S_f) \propto \exp\left[-\frac{N(E_f - \langle E_f \rangle)^2}{2\langle \sigma^2 \rangle}\right]$

$$f(E_f, S_f | D_N) \propto \exp\left[-\frac{1}{2} \sum_{i=1}^N \frac{\left(y_i + E_f x_i - \frac{S_f}{k}\right)^2}{\sigma_{y_i}^2}\right] \exp\left[-\frac{N(E_f - \langle E_f \rangle)^2}{2\langle \sigma^2 \rangle}\right]$$

- marginální hustota pravděpodobnosti: $f(E_f | D_N) = \int f(E_f, S_f | D_N) dS_f$

Příklad – aktivační energie vzniku vakancí v Fe₃Al

- marginální hustota pravděpodobnosti: $f(E_f|D_N) = \int f(E_f, S_f|D_N) dS_f$

